

## 泥水密度流先端部の挙動について(第6報)

九州大学工学部 正会員 平野 宗夫  
 九州大学工学部 正会員 羽田野 裕義  
 九州大学大学院 学生員 ○外村 健司

## 1. まえがき

前報において、粗砂のまき上げと沈積を考慮して泥水密度流先端部の特性について考察を行なったが、まき上げについての考察が不十分であった。本研究は密度流による細砂のまき上げ実験の結果をもとに、先端部の運動特性について考察を行なったものである。

## 2. 理論

現象は非定常な下層密度流であり、図-1に示すような2層流モデルを考える。基礎方程式は下層流体に関する体積保存則・質量保存則および底面方向の運動方程式であり、底面に平行にx軸、これに垂直上方にz軸をとるとそれぞれ次式のようになる。

$$\frac{\partial \delta}{\partial t} + \frac{\partial \delta}{\partial x} = U_e + Y_* - Y_f \quad (1)$$

$$\frac{\partial(P\delta)}{\partial t} + \frac{\partial(P\delta)}{\partial x} = P_0 U_e + \{ \sigma(1-\lambda) + \lambda P_0 \} (Y_* - Y_f) \quad (2)$$

$$\int_{h_b}^{h_b+\delta} P \left( \frac{\partial u}{\partial t} + u \frac{\partial u}{\partial x} + u \frac{\partial u}{\partial z} \right) dz = \Delta P g \delta \sin \theta - g \cos \theta \frac{\partial}{\partial x} \left( \frac{1}{2} \Delta P \delta^2 \right) + \tau_i - \tau_b \quad (3)$$

ここで、 $U_e$ は周囲水の連行速度、 $Y_*$ および $Y_f$ はまき上げおよび沈積による河床の低下および上昇の速度。

$\delta = \int_{h_b}^{h_b+\delta} u dy$ 、 $\theta$ はx軸と水平との角、 $\Delta P = P - P_0$ 、その他は慣用記号である。上3式を連続式などを用いて変形し、同一の特性曲線  $\frac{d\delta}{dt} = f$  上で考える。 $X = \frac{x}{s_0}$ 、 $D = \frac{\delta}{s_0}$ 、 $R = \frac{\Delta P}{\Delta P_0}$ 、 $U = \frac{U_e}{U_0}$ 、 $F_0 = \frac{U_0}{\sqrt{\Delta P_0 g s_0 / P_0}}$

$\tau_{in} = f \frac{U_0^2}{\{(\sigma/P_0 - 1)g d\}}$  とおくと、結局無次元形で

$$\frac{dD}{dx} = M + \frac{Y_* - Y_f}{U}, \quad M = E - \frac{\delta}{U} \frac{\partial \bar{u}}{\partial x} \quad (4)$$

$$\frac{dR}{dx} = - \frac{R}{D} \left\{ E + \frac{Y_* - Y_f}{U} - (1-\lambda) F_0^2 \frac{s_0}{d} \frac{\tau_b}{\tau_{in}} \frac{Y_* - Y_f}{U} \cdot \frac{1}{R} \right\} \quad (5)$$

$$\frac{dU}{dx} = - \frac{U}{D} \left\{ \frac{P_0}{P} (1-k_1) E + \frac{\sigma(1-\lambda) + P_0 \lambda}{P} \frac{Y_* - Y_f}{U} + f_i + f_b \right\} \quad (6)$$

$$+ \frac{R}{U} F_0^{-2} \sin \theta + 2(\beta-1)(M-E) \frac{U}{D} + U \frac{\partial \beta}{\partial x} \quad (6)$$

のようになる。ここで、 $E = U_e/U$ 、 $k_1 = U|_{z=h_b+\delta}/U$ 、 $\tau_i = f_i P \bar{u}^2$ 、 $\tau_b = f_b P \bar{u}^2$ 。

$\beta$ は運動量補正係数および入は空げき率であり、 $s_0$ 、 $\Delta P_0$ はそれぞれ  $x = x_0$  における  $\delta$ 、 $\Delta P$  の値である。以前赤司<sup>3)</sup>は珪砂( $\sigma/P_0 = 2.65$ 、 $d_{50} = 47 \mu$ )を用いて塩水密度流による細砂のまき上げ実験を行なっている。図-2はその結果を示したものである。図中の曲線は Pick up rate に関する辻本の式<sup>3)</sup>

$$P_0 \sqrt{d / (\sigma/P_0 - 1) g} = 0.03 T^* (1 - T^*/T_{*})^3, \quad T^* = U_e^2 / \{(\sigma/P_0 - 1) g d\} \quad (7)$$

における限界掃流力に岩垣の式  $U_{sc}^2 = 226 d$  を用いて得られたものである。なお  $Y_*$  と  $P_0$  は  $Y_* = P_0 d$  の関係にある。底面抵抗を噴流の研

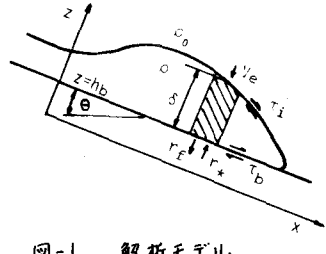


図-1 解析モデル

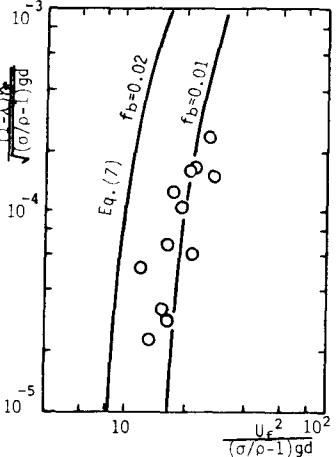


図-2 密度流先端部の運動による細砂のまき上げ量

実結果<sup>5)</sup>から評価した場合、実測値と計算値は近い傾向を示すようであり、密度流によるまき上げに対して式の式が適用できることと考えられる。また、粒子の体積濃度C沈降速度 $w_0$ を用い、 $Y_0 = CW_0$ で与えることにする。

### 3. 計算結果

式(4)、(5)および(6)の適合性をみるために、芦田らが $\sigma/P_0 = 2.65$ 、 $d_{50} = 30\mu\text{m}$ のカオリソ懸濁液を用いて行なった thermal の実験結果を計算値とともにプロットしたのが図-3および図-4である。計算条件は最上流の測定値を初期条件として与え、 $M = 0.35 \sin \theta$ 、 $Y_0 = 0$ 、 $\lambda = 0.45$   $f = 0.02$ とした。thermal の場合、 $\delta/m$ の値は plume に比べて大きな値となるため  $\delta/m = 2.0$ について計算した。また沈降速度として Stokes の公式による値  $w_0 = 0.1 \text{ cm/s}$ と、分級作用や乱れ中の沈降であることを考慮して  $w_0 = 0.035 \text{ cm/s}$ について計算した。図より  $w_0 = 0.035 \text{ cm/s}$ とした計算が実験値と割合よい一致を示すようである。

次に泥水密度流の運動特性が内部フルード数の初期値  $F_0$  と底面粒子のまき上げを規定する流れの掃流力と限界掃流力との比  $C_{\text{f}}/C_{\text{fc}}$  に強く依存することに着目し、 $F_0 \sim C_{\text{f}}/C_{\text{fc}}$  の平面上で泥水密度流の発達・減衰の領域区分を行なった。その結果が図-5 に示されている。この図において領域④から出発した密度流は常にまき上げを生じて、濃度・速度とも急増し、泥流や土石流に移行する。この領域では、 $X=0$ において  $dV/dX > 0$ かつ  $C_{\text{f}} > C_{\text{fc}}$  となる条件が満たされ、式(6)を用いて

$$\left\{ \begin{array}{l} C_{\text{f}}/C_{\text{fc}} > 1 \\ F_0^2 < \frac{\sin \theta + \frac{1}{1-\lambda} \frac{C_{\text{f}}}{f_b} \frac{d}{d_0} \frac{w_0}{U_0} \frac{\sigma(1-\lambda) + P_0 \lambda}{P_0}}{(1-\lambda) E + \frac{\sigma(1-\lambda) + P_0 \lambda}{P_0} \times 0.03 \sqrt{f_b} C_{\text{f}} (1 - \frac{C_{\text{f}}}{C_{\text{fc}}})^3 + f_i + f_b} \end{array} \right.$$

と表わされる。領域④から出発した密度流は泥ごんなどのために第4に減衰する。この領域では  $X=0$  で  $dV/dX < 0$ かつ  $C_{\text{f}} < C_{\text{fc}}$  の条件が満たされ、次式

$$\left\{ \begin{array}{l} C_{\text{f}}/C_{\text{fc}} < 1 \\ F_0^2 > \frac{\sin \theta + \frac{1}{1-\lambda} \frac{C_{\text{f}}}{f_b} \frac{d}{d_0} \frac{w_0}{U_0} \frac{\sigma(1-\lambda) + P_0 \lambda}{P_0}}{(1-\lambda) E + f_i + f_b} \end{array} \right.$$

と表わされる。なお図中  $F_{01}^2$  および  $F_{02}^2$  の値は次のようである。

$$F_{01}^2 = \frac{\sin \theta}{(1-\lambda) E + f_i + f_b}, \quad F_{02}^2 = \frac{\sin \theta + \frac{1}{1-\lambda} \frac{C_{\text{f}}}{f_b} \frac{d}{d_0} \frac{w_0}{U_0} \frac{\sigma(1-\lambda) + P_0 \lambda}{P_0}}{(1-\lambda) E + f_i + f_b}$$

上記④および⑥以外の領域から出発した泥水密度流は加速または減速した後①、②いずれかの領域内に移行し、発達または減衰する。これらのいずれのコースになるかは、初期条件と  $E$ 、 $M$ 、 $\sin \theta$ などの他、粒子に関する  $\rho/\rho_a - w_0/g$  および  $d_0/g$  に規定される。

#### 参考文献

- 1) 平野・羽田野・外村；西部支部、1982
- 2) 木司淳也；九州大学修士論文、1980
- 3) 近本哲郎；京都大学卒業論文、1977
- 4) 岩垣雄一；土木学会論文集、第41号、1956
- 5) Sigalla ; J.R. Aeronaut. Soc. 62, 1958
- 6) 芦田・江頭・中川；京都大学防災研究年報、第24号、B-2、1981
- 7) 平野・羽田野・松尾；西部支部、1983

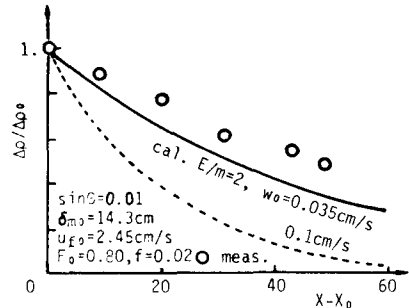


図-3 先端部 密度の計算値と実測値

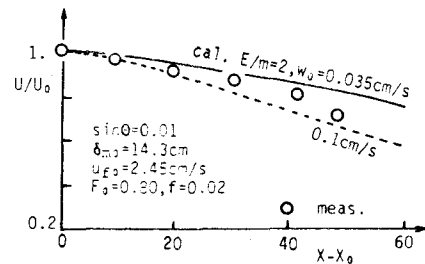


図-4 先端部 速度の計算値と実測値

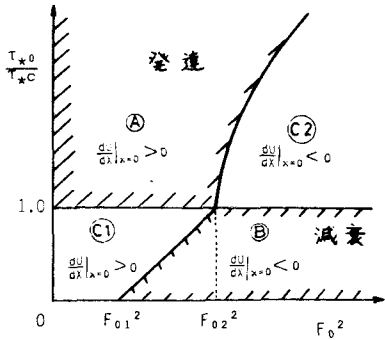


図-5 泥水密度流の発達・減衰  
の領域区分